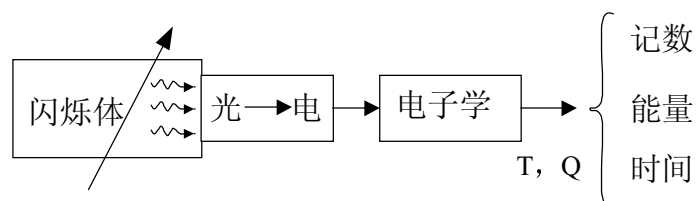


# IV. 闪烁体探测器和 BES II 飞行时间探测器

吕军光

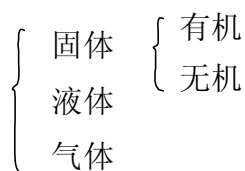
## 闪烁探测器

简单过程:



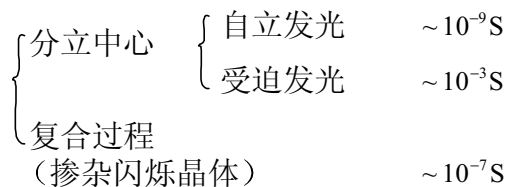
### 一、闪烁体

#### 1. 分类



#### 2. 发光机制

##### (1) 无机

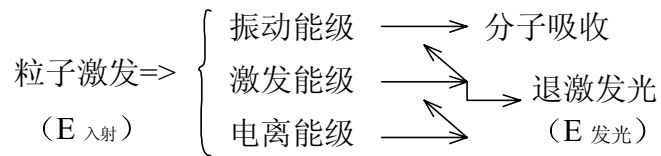


(2) 有机 (溶剂+溶质 (发光激活剂 5%))  
 $\pi$  电子在聚合分子内部的行为

<1>能量传递

- a.  $\pi$  电子在分子内部共振传递
- b. 辐射传递: 溶剂光=>溶质发光

<2>有机闪烁发光  $\sim 10^{-9}$ s



$$E_{\text{发光}} \leq 10\% E_{\text{入射}}$$

- a. 溶剂发光强自淬灭
- b. 溶质发光与溶剂发光须光波匹配
- c. 高能激发与低能激发得到相同的发射光谱

## 二、闪烁体性能

1. 发射光谱

2. 发光光产额

$$\eta = \frac{\sum_i^N \varepsilon_i}{E}$$

(1) 相对 NaI(Tl) 光输出

标准: NaI(Tl):  $\tau \sim 230$  ns

(2)  $N_{p,e}/\text{Mev}$

单光电子测量  
 宽的频带响应

3. 发光率减时间

$$N = N_0 e^{-t/\tau}$$

(1) 发光上升时间:  $10^{-11} \sim 10^{-9}$  s

包括能量沉积, 能量传递, 退激发光达到最大时的时间。

(2) 发光率减过程:  $1ns \sim 10^{-3}s$

$$N = \sum_i^M N_0 a_i e^{-t/\tau_i}$$

(3) 发光率减时间测量

a. 快光电倍增管, 快示波器相对测量。

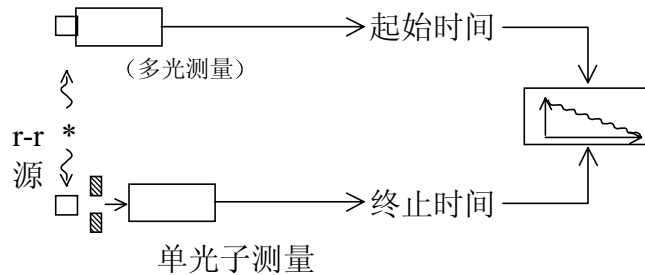
$$U = -V_0 \tau (e^{t/\tau_f} - e^{t/\tau}) / (\tau_f - \tau)$$

$$T_m = \tau_f \cdot [\tau / (\tau - \tau_f)] \cdot \ln(\tau / \tau_f)$$

测量过程: 用已知标准  $\tau_{f_0}$  的样品, 测量出系统  $\tau$ , 然后再测量新样品得到  $\tau_f$

b. 快激光脉冲、同步辐射延迟时间测发光强度

c. 单光子时间关联记数



4. 能量分辨率和线性

$$R = \Delta E/E \quad (\%) \quad \sigma_E = \frac{\Delta E}{2.35} / E$$

$\Delta E$  (能量谱半高宽)  $\sigma$  标准偏差

(1) 低能能量分辨问题

a.  $\gamma$  与晶体的作用。(综合)

\*光电效应:  $K = E_\gamma - E_e$  

\*康普顿效应:



$$E_{\gamma'} = E_{\gamma} (a(1 - \cos \theta) / (1 + a(1 - \cos \theta)))$$

$$E_e \sim 0 - E = 2aE_{\gamma} / (1 + 2a) \quad a = \frac{E_{\gamma}}{m_e c^2}$$

\*正负电子对产生  $E_{\gamma} > 1.022\text{MeV}$

b. 伴随源  $\alpha$ 、 $\beta$  和周围材料的反散射

NaI(Tl)小晶体  $\Delta E/E \geq 6\%$ ，对(0.662MeV  $^{137}\text{Cs } \gamma$ )

(2) 高能  $\gamma$  簇射

大晶体或多晶体的联合信息 2% (1GeV)

电子学噪声，能量泄漏，光收集均匀性

(3) 有机闪烁体

只有  $dE/dX$  (2MeV/cm)

单层 1cm (30%~100%) 郎道分布

多层: (铅+闪烁光纤)

(铅+闪烁条)  $\sigma_E : 6\% \sim 3\%$  (1GeV)

(4) 线性

无机晶体  $\left\{ \begin{array}{l} \sim 20\text{KeV } x \text{ 发光最强} \\ \text{低温发光增强} \end{array} \right.$

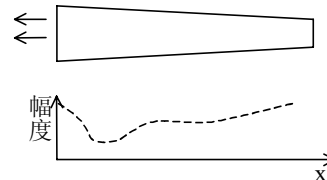
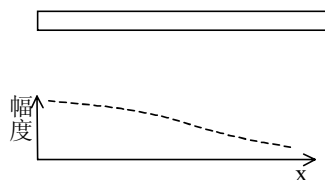
与粒子的种类有关，关系到粒子的射程和  $dE/dX$ ，所以对于重粒子，低能量区出现非线性。

5. 光率减长度

$$N(x) = N_0 e^{-x/\lambda}$$

(1) 与闪烁体的自吸收有关

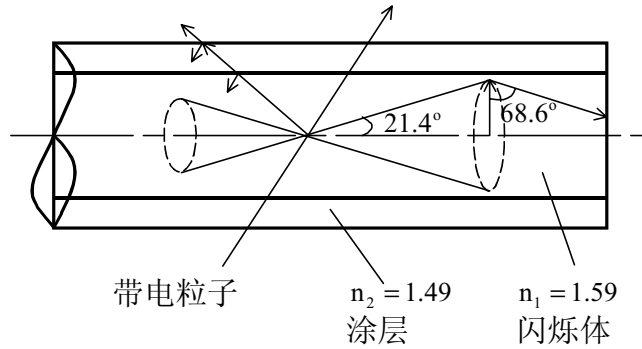
(2) 与闪烁体的几何尺寸有关



(3) 与反射层材料和反射方式有关

全反射、镜反射（伴有折射）、漫反射

闪烁光纤性能



- 特点：
- ① 只有~10%的闪烁发光可以传输读出；
  - ② 光传输较远，率减长度 3~10 米；
  - ③ 闪烁光脉冲较窄。

### 6. 探测效率

{	无机	高能测量 ( $\gamma, \pi^0$ )	{ 发光强度 电子学噪声
		低能测量 $x, r$ (峰谷比)	{ 能量分辨 高原子序数

有机（对带电粒子）	{	大尺寸远端位置的信噪比 厚度、高压、甄别阈
-----------	---	--------------------------

### 7. 时间分辨

无机闪烁体只有几种可以提供时间测量 BaF<sub>2</sub>、CsF  
 有机闪烁体的最重要特性 ( $\tau \sim 2\text{ns}-10\text{ns}$ )

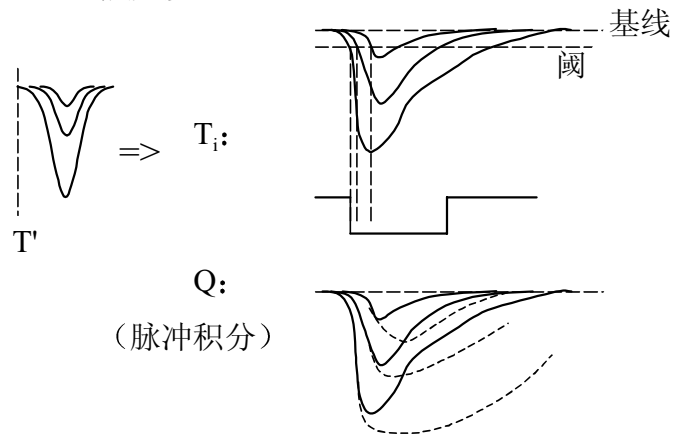
经验公式：
$$\Delta t = A \sqrt{\tau_{\text{PMT}} \cdot \tau_{\text{Scint}} / N_{\text{P.e}}}$$

#### (1) 光学特点

小闪烁体	$A \sim 1$	} 直射 全反射 漫反射
大闪烁体	$\tau_{\text{Scint}}$ : 包括发光, 光程差	
$A \gg 1$	$N_{\text{p.e}}$ : 接收角, 自吸收	

(2) 电子学

时间-幅度修正

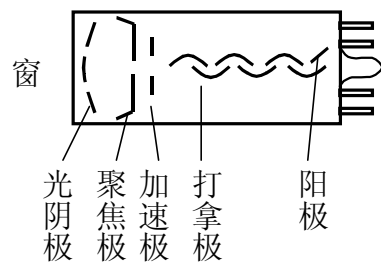


$$T' = T_i - a_0 \sqrt{Q_i} - \sum_j^3 a_j Q_i^j$$

三、光探测器

1. 光电倍增管 (PMT)

(1) 结构



<1> 窗口材料

<2> 光阴极：  
灵敏区（不同材料）  
量子效率：~10%-25%（峰区）

<3> 打拿极结构：  
环形，盒式  
直线形  
丝网（抗磁）  
微通道板（抗磁）  
混合型，半导体（二极、三极）探测器

(2) PMT 参数：

①光照灵敏度；②电流放大；③量子效率；④光谱响应；⑤阴极暗电流；  
⑥磁场效应；⑦线性；⑧高压；  
⑨时间特性

渡越时间 TTS

XP2020~30ns

R2490-05~8ns

脉冲上升时间  $t_r$

XP2020~1.6ns

R2490-05~2.5ns

渡越时间涨落（单光电子）  $\sigma_{TTS}$

XP2020  $\sigma \sim 250$  ps

R2490-05  $\sigma \sim 140$  ps

高压变化  $\sim 10$  ps/V

2. 微通道 PMT ( $\phi \sim 1\text{cm}$ )

TTS: 0.6ns  $t_r$ : 150ps  $\sigma_{TTS}$ : 25ps G:  $10^5$

3. 光二极管

4. 光成像器 CCD

5. 多丝室

# 新飞行时间探测器介绍

## 一、飞行时间探测器的结构和原理

### 1. 闪烁体 (BC\_408):

Scin: 284cm (L) \* 15.6cm (W) \* 5cm (T)

Light guide: 16cm

\*发光率减时间 (2.1ns)

\*发射波长 (420nm)

\*有效光传播速度 (16cm/ns)

\*技术光率减长度 (4 m)

本征时间分辨 (~130ps)

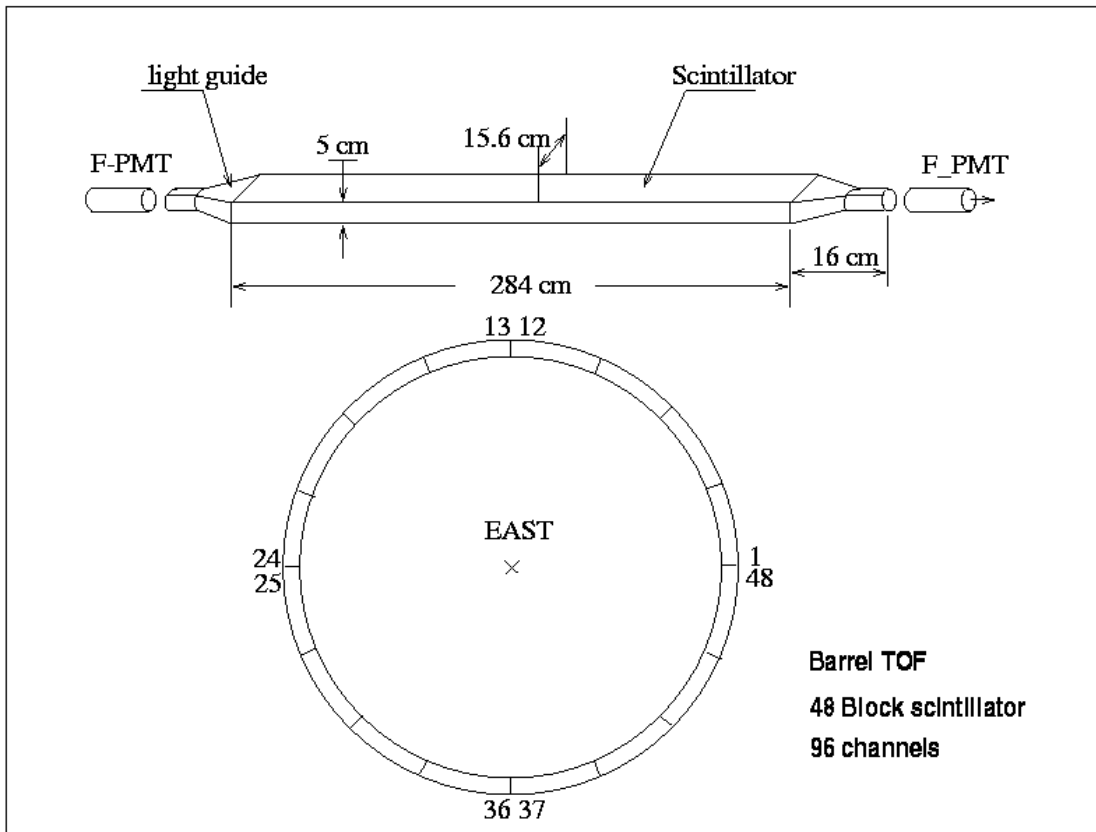


图 1 飞行时间探测器单元尺寸和分布示意图

表 1 新旧飞行时间探测器的比较

		<b>New TOF</b>	<b>BES TOF</b>
Scintillator	Size	15.6cm*5cm*284cm	15.6cm*5cm*284cm
	Type	BC-408	NE110
	Decay time	2.1 ns	3.3 ns
	Attenuation	4.4 m	2.5 m
Light guide	Size	16 cm(L)	112 cm(L)
	Material	UVT plexiglass	air 2# plexiglass
	Wrapping	Aluminum foil + black plastic tape	Black paper + black plastic tape
PMTs	Type	R2490-05(FM)	XP2020
	Photocathode sensitivity	Ø 36	Ø 44
	Gain	$5 \times 10^6$ (at 2500V)	$3 \times 10^7$ (at 2200V)
	Transit time	8.5 ns	28 ns
	Transit time variation ( $\sigma$ )	150 ps	250 ps
Laser monitor	Type	Dye liquid	N <sub>2</sub>
	Photo pulse	100 ps	300 ps
	Fibers location	Two end	Middle

## 二、飞行时间探测器的作用

1. 提供第一级触发
2. 排除宇宙射线 (Trig Gate: 40ns)

$$\delta T = \text{TOF (1)} - \text{TOF (2)}$$

$$* e^+ + e^- \rightarrow \mu^+ + \mu^- : \delta T = 0$$

$$* \text{宇宙射线: } \delta T > 4 \text{ ns}$$

3. 鉴别粒子:  $\pi / K / P$

$$* \beta = p / \sqrt{(p^2 + m^2)}, \quad T = L / (c * \beta)$$

$$* W_i = e^{-(T_i - T)^2 / 2\sigma^2} \quad i: \pi, k, p$$

$$* N_\sigma = (T_k - T_\pi) / \sqrt{(\sigma_k^2 + \sigma_\pi^2)} \sim (T_k - T_\pi) / (\sqrt{2}\sigma_t)$$

$$\sigma_t = 200\text{ps} \quad L = 120\text{cm}$$

$$(2\sigma): \quad k/\pi < 850\text{MeV}/c, \quad p/k < 1.4 \text{ GeV}/c$$

### 三、飞行时间的测量过程

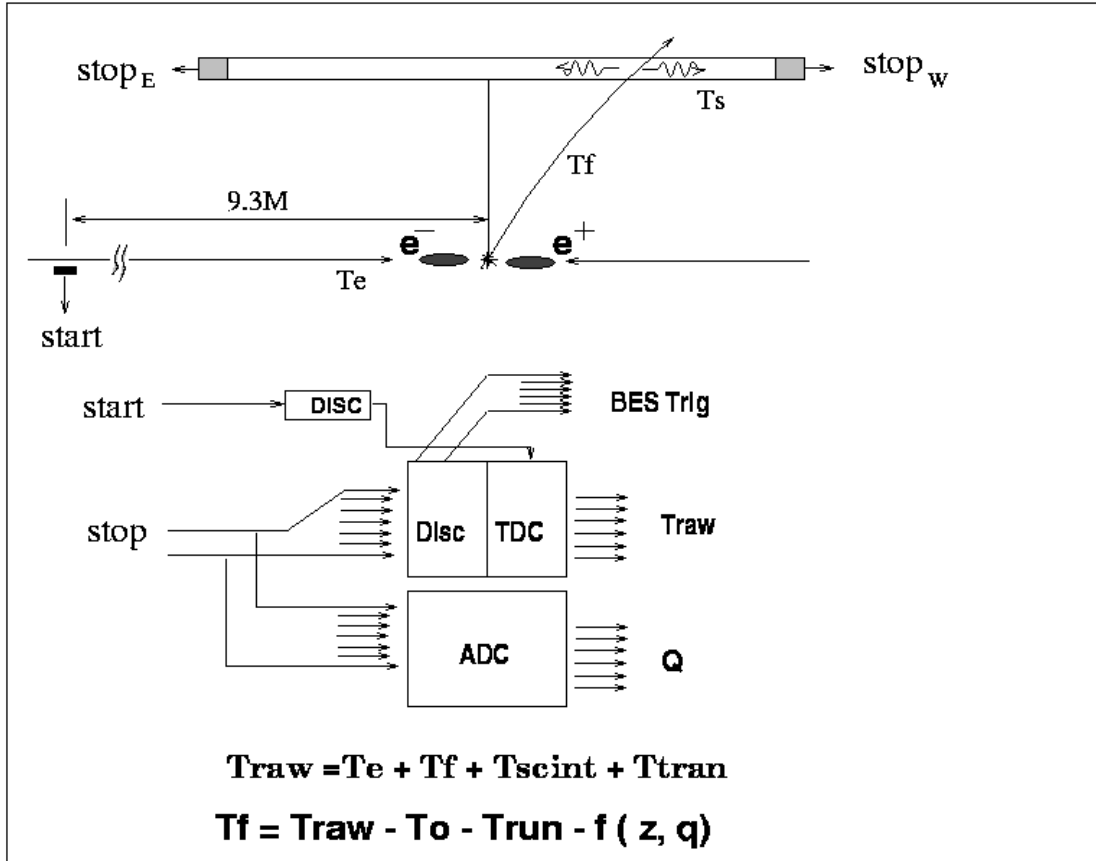


图2 飞行时间测量原理图

1.  $T_{raw} = T_{e^-} + T_f + T_{scint} + T_{tran}$   
 $T_f = T_{raw} - f(C_0, Z, Q)$

2. 离线刻度

$$e^+e^- \rightarrow e^+e^-$$

$$T^{E,W} = T_{raw}^{E,W} - T_{exp} - T_{run} - C_0 - (C_1 + C_2 * Z / \sqrt{Q} - C_3 * Q - C_4 * Q^2 - C_5 * Q^3 - \frac{C_6}{1.157^2} / Z^2 - C_7 * Z - C_8 * Z^2 - C_9 * Z^3)$$

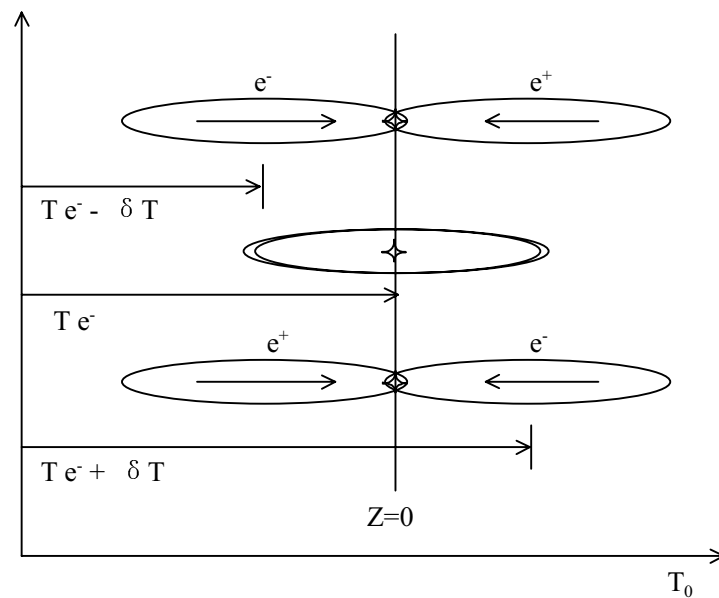
3. 事例重建

$$T = (T_E * W_E + T_W * W_W) / (W_E + W_W)$$

$$W_{E,W} = C_1' + C_2' * Z + C_3' * Z^2$$

#### 四、构成系统时间分辨率的因素

1. 本征时间分辨率:  $\sigma \sim 130 \text{ ps}$
2. 动量、径迹长度、击中位置的测量误差
3. 时间刻度参数的误差
4. 起始时间的涨落和随流强的变化:  $5 \text{ ps} / \text{mA}$
5. 束团长度引起的时间不确定:  $\sigma_t = \sigma_{\text{beam}} / \sqrt{2}$



6. 多粒子击中:  $\sim 30\%$ , 时间分辨  $\gg \sigma_t$ 
  - \* 末态粒子的二次击中:  $< 10\%$
  - \* 外围物质 (量能器) 的次级粒子发射:  $> 10\%$
  - \* 闪烁体内的  $\delta$  电子发射:  $\sim 15\%$

#### 五、飞行时间探测器的运行

1. 电子学机箱分布 (图 3)
2. 高压运行 (注入时禁加高压)
3. 数据直方图

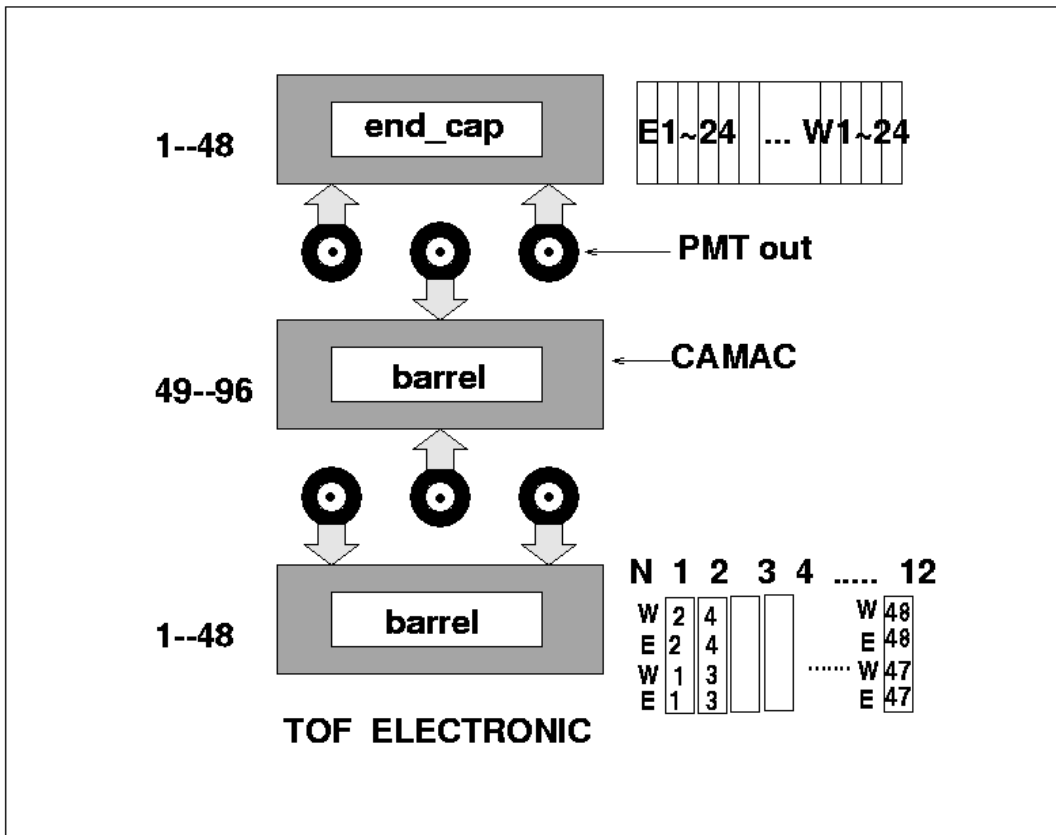


图3 电子学机箱、通路分布图

#### 4. 在线刻度

- \* 水银开关——刻度电子学：T 和 Q
- \* 脉冲激光——监测 Q 变化和提供离线  $T_{tran}$

